

توسعه سیستم کنترل پایداری الکترونیکی برای خودروهای الکتریکی با چهار موتور در چرخ

علیرضا امیر جمشیدی^۱، جواد شریفی^۲

^۱ فارغ‌التحصیل کارشناسی ارشد مهندسی برق، گروه کنترل، دانشگاه صنعتی قم، alirezaamirjamshidy@gmail.com

^۲ استادیار، دانشکده مهندسی برق و کامپیوتر، گروه کنترل، دانشگاه صنعتی قم، jv.sharifi@gmail.com

(تاریخ دریافت مقاله ۱۳۹۴/۸/۱۶، تاریخ پذیرش مقاله ۱۳۹۵/۴/۱۹)

چکیده: در این مقاله یک سیستم کنترل برای بهبود پایداری و فرمان‌پذیری خودرو الکتریکی تحت شرایط سخت رانندگی توسعه پیدا کرده است. در ابتدا ما یک سیستم کنترل لغزش را با استفاده از منطق فازی برای جلوگیری از سرخوردگی چرخ در هنگام ترمزگیری یا شتاب‌گیری شدید طراحی کرد و سپس برای بهبود پایداری خودرو در مانورهای ناپایدار کننده خودرو، یک سیستم کنترل پایداری الکترونیکی را با استفاده از منطق فازی برای حفظ پایداری طراحی می‌کنیم. در شبیه‌سازی‌ها نرم افزار MATLAB چندین مانور راندن خودرو را به منظور بررسی کارآیی سیستم در حفظ پایداری خودرو انجام می‌دهیم. نتایج شبیه‌سازی نشان می‌دهد که قانون کنترل و کنترل-کننده فازی طراحی شده می‌تواند پایداری و مانور پذیری خودرو را به طور قابل توجهی حفظ کند.

کلمات کلیدی: سیستم کنترل پایداری الکترونیکی، کنترل فازی، گشتاور Yaw ، زاویه لغزش کناری خودرو

Development of Electronic Stability Control System for Electric Vehicle with Four in Wheel Motors Alireza Amirjamshidy, Javad Sharifi

Abstract: in this paper a control system is developed for stability improvement and steerability for electric vehicle in hard driving situations. At the first, we design a slide control system with fuzzy logic to prevent the wheels from sliding during of vehicle brakes or extreme acceleration. Then, we design an electronic stability control system based on fuzzy logic for vehicle to maintain stability on the situation of unstabalizing maneuvers. In MATLAB software simulations, we exert several driving car maneuvers to investigate the control system performance for vehicle stability maintenance. Simulation results show that control law and fuzzy controller can noteworthy retain car stability and maneuverability.

Keywords: electronic stability control system, fuzzy control, yaw torque, sideslip anglemotor.

داخلی است که می‌تواند عملکرد کنترلی را در برخورد با لغزش چرخ و یا پایداری عرضی خودرو بالا ببرد. (ب)- می‌توان گشتاور موتور را به آسانی و با مشاهده جریان موتور اندازه گرفت. (پ)- موتور الکتریکی ارزان و کم حجم است و می‌توان آن را در هر چرخ تجهیز کرد که این ویژگی باعث عملکرد بالا در کنترل حرکت و پایداری خودرو می‌شود. (ت)- در موتور الکتریکی اختلافی بین شتاب‌گیری و ترمزگیری وجود

۱- مقدمه

خودروهای الکتریکی با موتورهای نصب شده در چرخ، توجهات جهانی زیادی را نه تنها از نقطه نظر زیست محیطی بلکه از نظر کنترل حرکت خودرو جلب کرده‌اند. خودروهای الکتریکی امتیازات مثبتی نسبت به خودروهای احتراق داخلی دارند از جمله: (الف)- پاسخ گشتاور موتور الکتریکی دقیق و ۱۰ تا ۱۰۰ برابر سریعتر از موتورهای احتراق

خودرو بهره می‌برد. برخلاف سیستم‌های ESC معمولی که فقط از گشتاور ترمز‌گیری برای حفظ پایداری خودرو استفاده می‌کنند. در نهایت نیز یک کنترلگر لغزش فازی که همزمان لغزش ناشی از ترمز‌گیری و هم درجا زدن ناشی از شتاب‌گیری سریع را کنترل می‌کند، طراحی شده است که در واقع ترکیبی از سیستم‌های^۳ ABS و TCS^۴ است. کنترلگر لغزش همچنین موجب بهبود عملکرد سیستم ESC که از گشتاور ترمز‌گیری و شتاب‌گیری برای حفظ پایداری خودرو استفاده می‌کند، می‌گردد و با ممانعت از به اشتعاع رسیدن نیروی تایر، موجب تاثیر بهتر این گشتاورها می‌شود.

ادامه این مقاله بر اساس زیر تقسیم بندی شده است. در بخش دوم مدل خودرو و چرخها مدلسازی و شبیه‌سازی شده است. در بخش سوم کنترل کننده لغزش برای خودرو طراحی شده است. در بخش چهارم به طراحی سیستم کنترل ESC پرداخته شده است. در نهایت در بخش پنجم نتایج کار آورده شده است.

۲- مدل سازی سیستم خودرو و چرخ‌ها

در این بخش به مدلسازی ریاضی خودرو و نیز چرخ‌ها می‌پردازیم. در بخش اول مدل خودرو و در بخش دو مدل چرخها مورد بررسی قرار می‌گیرد.

۱-۱ مدل خودرو

مدل خودرو استفاده شده در این مقاله مدلی با ۷ درجه آزادی برای بررسی عملکرد سیستم کنترلی می‌باشد. این مدل شامل ۳ درجه آزادی Z مربوط به حرکت‌های طولی، عرضی و حرکت دورانی حول محور Z (yaw) و ۴ درجه آزادی نیز مربوط به حرکت دورانی ۴ چرخ خودرو می‌باشد، این مدل تأثیرات سیستم تعیق خودرو را در نظر نگرفته و بنابراین حرکات دورانی حول محور X و حول محور Y بدنه خودرو را بررسی نمی‌کند. در شکل ۲، شماتیک این مدل نشان داده شده است. برای این مدل، معادلات حالت برای دینامیک خودرو بصورت زیر نوشته می‌شود:

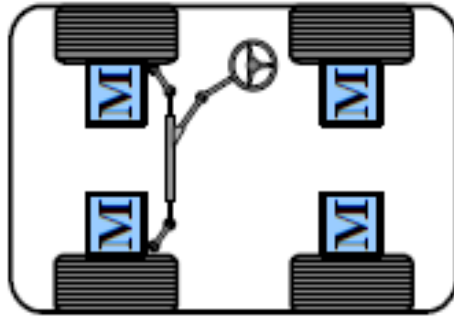
$$m(v_x^{\square} - \varphi^{\square} v_y) = F_{xrl} + F_{xrr} + \\ (F_{xfl} + F_{xfr}) \cos \delta - (F_{yfl} + F_{yfr}) \sin \delta \quad (1)$$

$$m(v_y^{\square} + \varphi^{\square} v_x) = F_{yrl} + F_{yrr} + \\ (F_{yfl} + F_{yfr}) \sin \delta + (F_{yfl} + F_{yfr}) \cos \delta \quad (2)$$

$$m(v_x^{\square} + \varphi^{\square} v_y) = F_{xrl} + F_{xrr} + \\ (F_{xfl} + F_{xfr}) \cos \delta - (F_{yfl} + F_{yfr}) \sin \delta \quad (3)$$

ندارد و این ویژگی عملکردی بالا در کنترل پایداری خودرو ایجاد می‌کند.

به منظور استفاده وسیع از این خودروها، نسل آینده آن‌ها باید دارای امنیت باشد. استفاده از کنترل پایداری الکترونیکی^۱ در خودروهای الکتریکی بسیار حائز اهمیت است. در حقیقت با نصب جعبه‌های سنگین باطری در این خودروها موقعیت مرکز ثقل خودرو به طور ناخواسته جابجا می‌شود و این موضوع خودرو را بیش فرمان می‌کند و این به معنی نیاز جدی این خودروها به سیستم‌های پایدار کننده اضافی چون ESC است. آگرچه خودروهای پیشرفته‌تر غیر برقی نیز به این سیستم مجهز هستند. ساختار خودروی استفاده شده در این مقاله همانند شکل (۱) است. یکی از مزایای این ساختار در این است که می‌توان گشتاورهای مستقل رانش و ترمز‌گیری را در هر ۴ چرخ به طور مستقل در اختیار داشت. در این ساختار هر کدام از موتورها به طور مستقیم به چرخ‌ها متصل شده‌اند که این امر موجب حذف سیستم دیفرانسیل خودرو برای انتقال گشتاور می‌شود.



شکل ۱: ساختار خودرو الکتریکی با چهار موتور الکتریکی در چهار چرخ

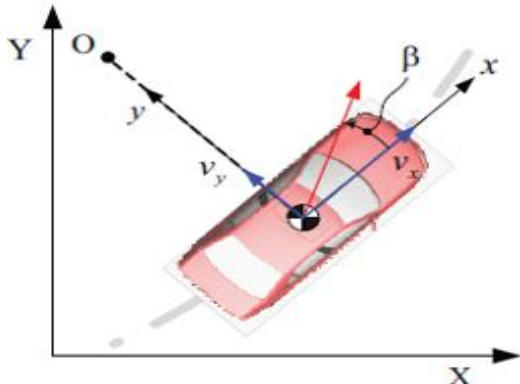
سیستم ESC به وسیله کاهش از دست رفت راننده بر خودرو طی مانورهای سخت و اضطراری، به کاهش تصادفات کمک می‌کند. برای خودروهایی با سیستم رانش مستقل چندین سیستم کنترل ESC با استراتژی‌های توزیع گشتاور مختلف، توسعه پیدا کرده و نقاط ضعف و قوتشان در مراجع [۱-۸] بررسی شده است. حال در این مقاله یک سیستم کنترل پایداری الکترونیکی برای خودروهای الکتریکی با گشتاورهای مستقل در هر چرخ ارائه شده است. این سیستم شامل یک کنترلگر منطق فازی است که با تشخیص شرایط ناپایداری خودرو، یک گشتاور اصلاحی چرخشی^۲ برای بازگرداندن خودرو به مسیر مطلوب ایجاد می‌کند. و در ادامه یک توزیع کننده گشتاور طراحی شده است تا گشتاور اصلاحی خروجی مرحله‌ی قبل را با توجه به وضعیت‌های پیش آمده کم- فرمانی یا بیش فرمانی و همچنین زاویه‌ی هدایت راننده به چرخ‌های مناسب در محورهای جلو یا عقب توزیع نماید. در ضمن به منظور استفاده از حداقل گشتاور چرخشی قابل ایجاد توسط خودرو، همزمان از گشتاور ترمز‌گیری و شتاب‌گیری در دو سمت خودرو برای حفظ پایداری

^۳ سیستم ترمز ضد قفل

^۴ سیستم کنترل کشش

^۱ Electronic Stability Control (ESC)
^۲ YAW

به زاویه بین محور طولی خودرو و جهتی که خودرو در حال حرکت است زاویه لغزش کناری می‌گویند که مقدار آن را می‌توان از عبارت $B = \tan^{-1}(v_y/v_x)$ بدست آورد. شکل (۳)، این مساله را نشان می‌دهد.



شکل ۳: زاویه لغزش کناری خودرو

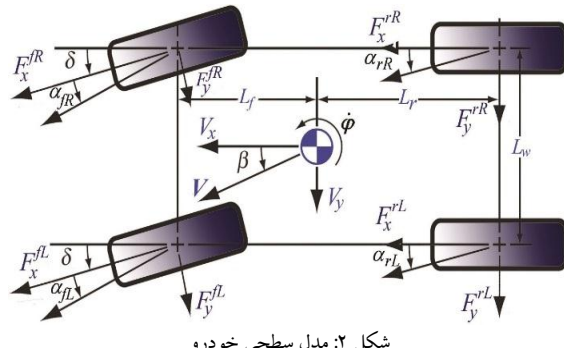
سرنشیان خودرو نسبت به زاویه لغزش کناری خودرو حساس هستند و به زاویه لغزش کناری کمتر تمايل دارند و احتمال بلقوه از دست رفتن کنترل خودرو، هنگامی که زاویه لغزش کناری بزرگ می‌شود، افزایش می‌یابد. بنابراین یکی از پارامترهای پایدار بودن خودرو می‌باشد و کنترل کامل خودرو می‌تواند با اطلاعات بدست آمده از لغزش کناری خودرو و تغییر سرعت حرکت yaw

بدست آید.

(پ)- استفاده از زاویه لغزش کناری بعنوان یکی از ورودی‌های کنترلگر بطور کلی اطلاعات بدست آمده از پارامتر سرعت تغییر حرکت yaw به عنوان ورودی کنترل کافی نیست و نمی‌تواند تمام شرایط ناپایداری در خودرو را شناس دهد به عنوان مثال هنگامی که خودرو بر روی سطح لغزندۀ از پهلو شروع به سرخوردن کند و سرخوردن به گونه‌ای باشد که تغییرات حرکت yaw خودرو ثابت بماند. در این شرایط کنترلگر که تنها دارای یک ورودی yaw rate می‌باشد این شرایط ناپایداری را تشخیص نمی‌دهد ولی با وجود پارامتر ورودی زاویه لغزش کناری خودرو در شرایط سرخوردن بالا زاویه لغزش کناری خودرو افزایش می‌یابد و کنترلر ناپایداری را تشخیص می‌دهد. همچنین سرنشیان خودرو نسبت به زاویه لغزش کناری خودرو حساس هستند و به زاویه لغزش کناری کمتر تمايل دارند و احتمال بلقوه از دست رفتن کنترل خودرو، هنگامی که زاویه لغزش کناری بزرگ می‌شود، افزایش می‌یابد. بنابراین کنترل کامل خودرو می‌تواند با اطلاعات بدست آمده از زاویه لغزش کناری خودرو و yaw rate می‌تواند بدست آید.

۲-۲ مدل چرخ

برای شبیه‌سازی چرخ خودرو از مدل چرخ مرجع داگ آف [۹] استفاده شده است. این مدل می‌تواند ترکیبی از نیروهای طولی و عرضی را برای شبیه‌سازی مدل خودرو فراهم کند. از مزایای این مدل، سادگی آن برای



شکل ۲: مدل سطحی خودرو

که در معادلات بالا v_x بیانگر سرعت طولی خودرو، v_y سرعت عرضی خودرو، ϕ میزان تغییرات حرکت yaw، F_x و F_y بیانگر نیروی طولی و عرضی چرخ‌ها هستند. چهار چرخ خودرو با نام‌گذاری جلو-چپ (fL)، جلو-راست (fR)، عقب-چپ (rL) و عقب-راست (rR) مشخص می‌شوند. δ بیانگر زاویه هدایت ورودی و m بیانگر جرم خودرو و L_w بیانگر عرض خودرو و I_z گشتاور اینرسی حول محور yaw خودرو می‌باشد. حرکت دورانی چرخ‌ها نیز توسط معادلات زیر توصیف می‌شود:

$$J_w w^0 = T_{di,j} - T_{bi,j} - F_{xi,j} r_{eff}; i = f, r \quad j = l, r \quad (4)$$

که در معادله بالا T_d اشاره به گشتاور رانش، T_b اشاره به گشتاور ترمز‌گیری، T_{eff} بیانگر شعاع چرخ و w بیانگر سرعت زاویه‌ای چرخ می‌باشد.

(الف)- حالت انتقال بار عمودی

بار عمودی وارد بر خودرو در اثر حرکت بین دو محور جلو و عقب تغییر می‌کند. مثلاً در هنگام ترمز‌گیری، بیشتر بار عمودی خودرو بر محور جلو وارد می‌شود. معادلات انتقال بار عمودی بر روی دو محور جلو و عقب به صورت زیر است:

$$F_{zf} = \frac{mgL_r \cos \theta - ma_x h_{cog} - mgh_{cog} \sin \theta}{L_f + L_r} \quad (5)$$

$$F_{zr} = \frac{mgL_f \cos \theta + ma_x h_{cog} + mgh_{cog} \sin \theta}{L_f + L_r} \quad (6)$$

در معادلات بالا h_{cog} ارتفاع مرکز ثقل خودرو، a_x شتاب طولی خودرو، θ زاویه شبیه مسیر حرکت و F_{zf} ، F_{zr} به ترتیب بیانگر نیروی عمودی وارد بر محور جلو و نیروی عمودی وارد بر محور عقب می‌باشد.

(ب)- زاویه لغزش کناری خودرو B

¹ front-Left

² front-Right

³ rear-Left

⁴ rear-Right

خودرو در نظر گرفته شده برای شبیه سازی یک خودروی الکتریکی با ۴ موتور الکتریکی مجزا در هر چرخ است. گشاور تولیدی توسط موتورها مستقیم به چرخها وارد می شوند. عملیات ترمزگیری در چرخها توسط گشاور منفی تولیدی توسط موتورها انجام می شود. بنابراین در این خودرو هر چرخ می تواند گشاور رانش و ترمزگیری را مستقل از چرخ های دیگر خودرو وارد کند.

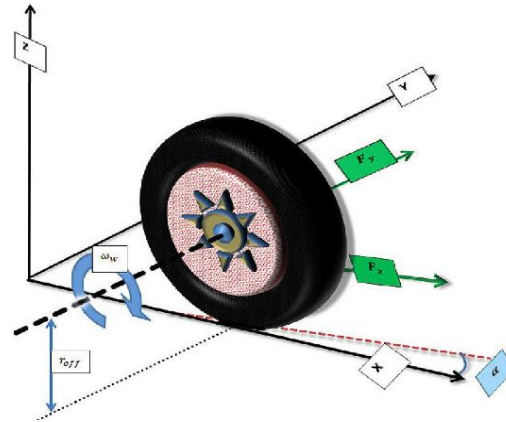
جدول ۱: مشخصات خودرو			
پارامتر	مقدار	پارامتر	مقدار
وزن خودرو	600 kg	L_z	1.18 m
h_{cog}	0.7 m	L_r	1.77 m
I_z	1800 kg.m ²	L_w	1.5 m
J_w	1.26 kg.m ²	r_{eff}	0.302 m
حداکثر توان موتور	10.7 kw	حداکثر گشاور موتور	400 Nm

۳- طراحی کنترل کننده لغزش خودرو

سیستم ESC بر روی سیستم پایه کنترل کننده لغزش [۱۰-۱۱] طراحی می شود. سیستم کنترل لغزش در هنگام ترمزگیری در صورتی که چرخ خودرو قفل و شروع به سرخوردن کند، با کاهش گشاور ترمزگیری مانع از این امر می شود. در هنگام شتاب گیری شدید خودرو نیز با کم کردن گشاور رانش و توزیع مناسب گشاور در بین چرخها مانع از درجا زدن چرخ می شود. حال چون سیستم ESC گشاور اصلاحی برای پایداری کردن خودرو را از طریق ترمزگیری یا شتاب گیری بر روی چرخی خاص انجام می دهد در صورت اعمال گشاور بیش از حد، موجب لغزش و سرخوردگی چرخ می گردد که این امر موجب کاهش تاثیر گشاور اصلاحی سیستم ESC و هم خود ممکن است موجب ناپایداری خودرو گردد. در این مقاله برای طراحی کنترل کننده لغزش از منطق فازی استفاده شده است. سیستم های کنترل فازی روش های استنتاجی مقاوم و معنطی هستند که برای برخورد با مسائل کنترل، با دینامیک غیرخطی پیچیده مناسب هستند. از اینرو، برای کنترل دینامیکی خودرو که دارای رفتار ذاتی غیرخطی دارد، یک انتخاب ایده آل هستند. سیستم های کنترل فازی می توانند با اطلاعات ورودی غیردقیق کار کنند. در واقع می توان داشت متخصصین را در جملات زبانی فازی توصیف کرد که این برای ذات دینامیک خودرو و سیستم کنترل لغزش مناسب است.

پایگاه قوانین کنترل کننده لغزش فازی دارای دو ورودی میزان خطای لغزش (s) و میزان تغییرات خطای لغزش (\dot{s}) و یک خروجی گشاور اصلاحی موتور می باشد. میزان خطای لغزش چرخ به وسیله مقایسه لغزش واقعی چرخ با محدوده لغزش مطلوب که در اینجا ۱۵ درصد در نظر گرفته شده است محاسبه می شود. یعنی اگر لغزش چرخ کمتر از این مقدار بود کنترلگر دخالتی نمی کند. ورودی (s) دارای ۴ متغیر زبانی {ZE,PS,PM,PL} و ورودی (\dot{s}) نیز دارای ۷ متغیر

شبیه سازی و همچنین استفاده از مقادیر مستقل برای سختی طولی چرخ C_σ و سختی گوش چرخ C_α است.



شکل ۴: مدل چرخ خودرو

(الف)- زاویه لغزش چرخ

زاویه لغزش به عنوان زاویه بین جهت صفحه مرکز چرخ و جهت سرعت چرخ معرفی می شود و معمولاً بر حسب رادیان محاسبه می شود:

$$\alpha_f = \delta - \frac{y^0 + L_f \varphi^0}{x^0}, \quad \alpha_r = - \frac{y^0 - L_r \varphi^0}{x^0} \quad (7)$$

(ب)- میزان لغزش چرخ

اختلاف بین سرعت طولی خودرو x^0 و سرعت دورانی چرخ، لغزش طولی نامیده می شود. لغزش طولی هر چرخ هنگام ترمزگیری عددی منفی و هنگام شتاب گیری عددی مثبت بین [۱۱-۱۰] است. معادلات آن در عبارت (۸) آمده است:

$$S_{\text{brake}} = \frac{r_{\text{eff}} w_w - x^0}{x^0} \quad (8)$$

$$S_{\text{accelerate}} = \frac{r_{\text{eff}} w_w - x^0}{r_{\text{eff}} w_w}$$

حال میزان نیروی طولی و عرضی چرخ از معادلات زیر بدست می آید:

$$F_x = C_\sigma \frac{S}{S+1} f(\lambda), \quad F_y = C_\sigma \frac{S}{S+1} f(\lambda) \quad (9)$$

در معادلات (۹) تابع $f(\lambda)$ از رابطه زیر بدست می آید:

$$f(\lambda) = \begin{cases} (2-\lambda)\lambda & \text{if } \lambda < 1 \\ 1 & \text{if } \lambda \geq 1 \end{cases} \quad (10)$$

$$\lambda = \frac{\mu F_z (1+S)}{2((C_\sigma S)^2 + (C_\alpha \tan \alpha)^2)^{\frac{1}{2}}}$$

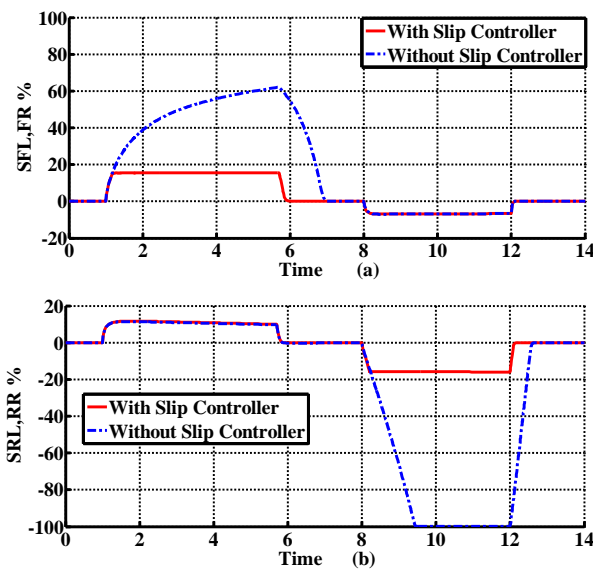
در عبارات بالا μ بیانگر ضرب اصطکاک چرخ و جاده و زاویه لغزش چرخ است. معادلات بالا باید برای هر چرخ بطور جداگانه محاسبه شود.

(پ)- مشخصات خودروی مورد آزمایش

پایگاه قوانین		e (s)			
		ZE	PS	PM	PL
e ^{0(s)}	NL	ZE	ZE	ZE	ZE
	NM	ZE	ZE	ZE	NS
	NS	ZE	ZE	NS	NM
	ZE	ZE	NS	NM	NL
	PS	NM	NL	NVL	NVL
	PM	NL	NVL	NVL	NVL
	PL	NVL	NVL	NVL	NVL

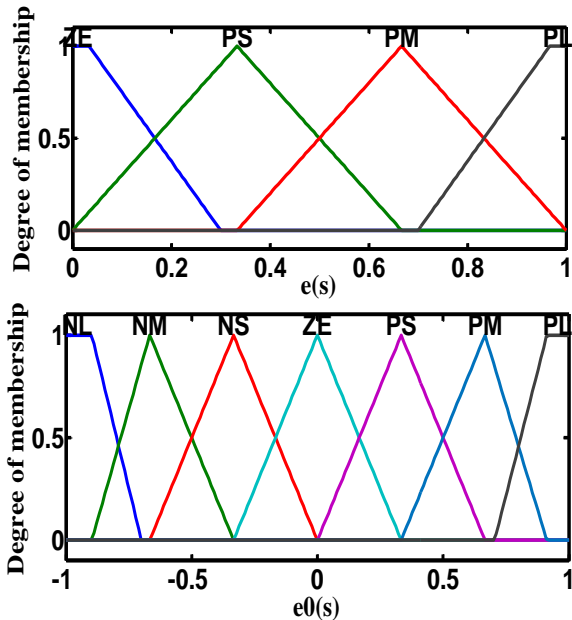
۱-۳ ارزیابی عملکرد سیستم کنترل لغزش

عملکرد سیستم کنترل لغزش فازی را با انجام دو مانور تست می‌کنیم. در آزمایش اول، ابتدا با شتاب گیری با گشتاور ماکزیمم ۴۰۰ نیوتن متر، سرعت خودرو را در مدت ۴/۷ ثانیه به ۱۰۰ کیلومتر بر ساعت می‌رسانیم و سپس از ثانیه ۸ به بعد با گشتاور ماکزیمم ۴۰۰ نیوتن متر ترمز گیری می‌کنیم تا خودرو در مدت ۴ ثانیه به طور کامل متوقف شود. همانطور که از شکل‌های (۱۰-۸) مشخص است در هنگام شتاب گیری به دلیل انقال بار عمودی بر محور عقب خودرو، میزان لغزش در چرخ‌های جلو افزایش می‌یابد که در این حالت کنترل کننده لغزش با کاهش گشتاور مثبت شتاب گیری چرخ‌های جلو، مانع از لغزش آن می‌شود. در هنگام ترمز گیری نیز به دلیل انقال بار عمودی بر محور جلو خودرو، لغزش در چرخ‌های جلو کاهش و در چرخ‌های عقب افزایش می‌یابد و در این حالت نیز کنترل کننده لغزش با کاهش گشتاور منفی ترمز گیری در چرخ‌های عقب مانع از لغزش آن می‌شود.

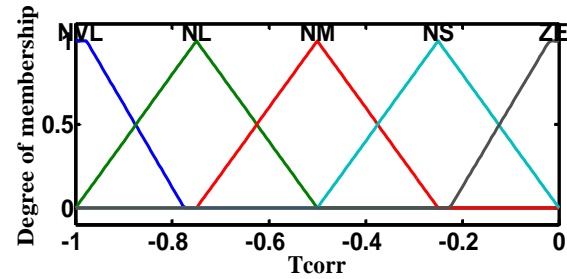


شکل ۸: (a) درصد لغزش چرخ‌های جلو. (b) درص لغزش چرخ‌های عقب

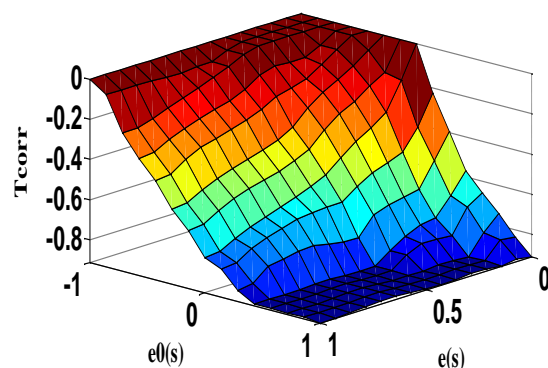
زبانی {NL,NM,NS,ZE,PS,PM,PL} داردی Tcorr ۵ متغیر زبانی {NVL,NL,NM,NS,ZE} می‌باشد. نمادهای اشاره شده بیانگر NVL منفی خیلی بزرگ، NL منفی بزرگ، NM منفی متوسط، NS منفی کوچک، PS مثبت کوچک، PM مثبت متوسط، PL مثبت بزرگ، ZE صفر، می‌باشد.



شکل ۵: توابع عضویت متغیرهای ورودی

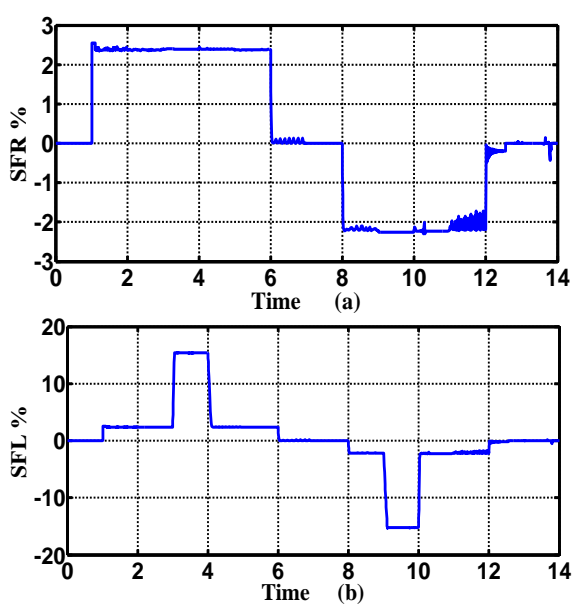


شکل ۶: توابع عضویت متغیر خروجی

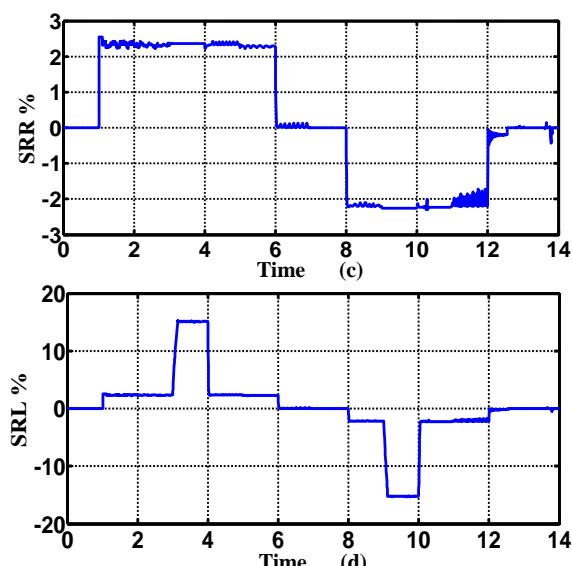


شکل ۷: سطح کنترل سیستم لغزش فازی

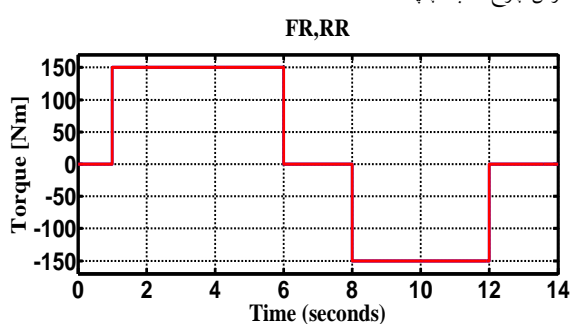
جدول ۲: قوانین فازی کنترل کننده لغزش



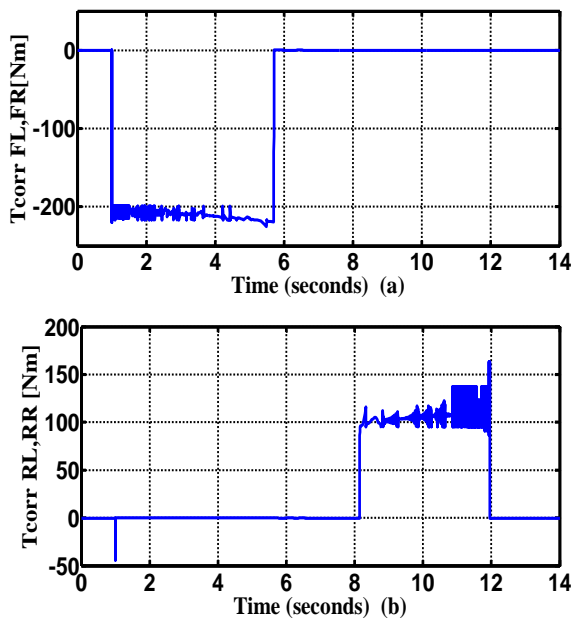
شکل ۱۱: نمودار (a) درصد لغزش چرخ جلو-راست و (b) درصد لغزش چرخ جلو-چپ



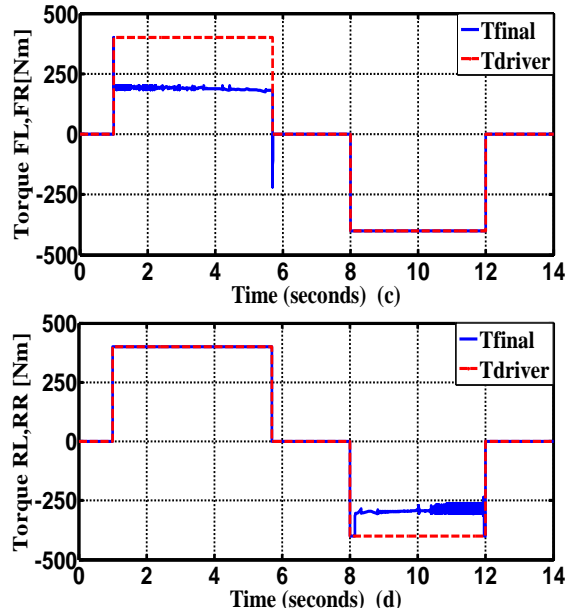
شکل ۱۲: نمودار (c) درصد لغزش چرخ عقب-راست و تصویر (d) درصد لغزش چرخ عقب-چپ



شکل ۱۳: گشتاور ورودی راننده که به دلیل لغزش کم چرخها، کنترل لغزش در آن مداخله ای نمی کند و باستی توسط موتورهای چرخهای سمت راست خودرو تامین گردد

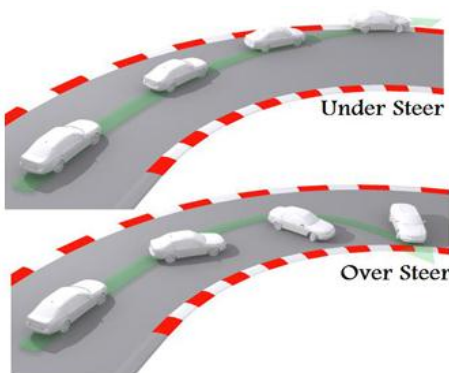


شکل ۹: تصاویر (a) و (b) به ترتیب مربوط به گشتاور اصلاحی خروجی کنترل کننده لغزش فازی برای چرخهای جلو و عقب می باشد



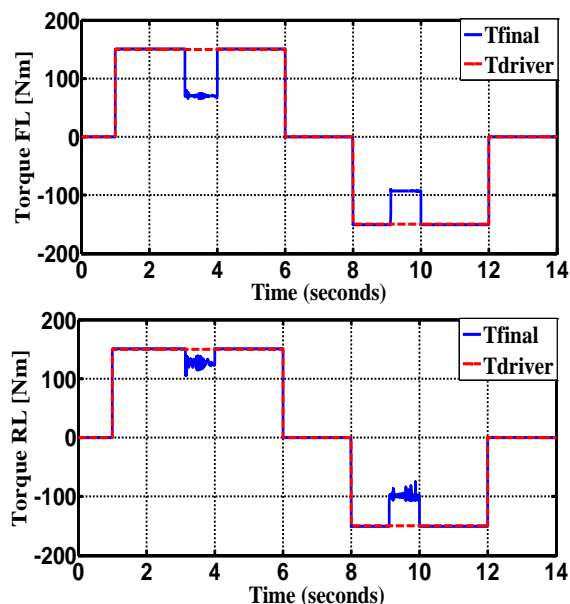
شکل ۱۰: تصاویر (c) و (d) به ترتیب مربوط به گشتاور موتور چرخهای جلو و عقب می باشد. در تصاویر بالا منحنی قرمز مربوط به گشتاور ورودی توسط راننده و منحنی آبی مربوط به گشتاور نهایی با وجود کنترل کننده لغزش است که می بایست توسط موتورهای الکتریکی تامین شود.

در آزمایش دوم ابتدا در هنگام شتابگیری با گشتاور ۱۵۰ نیوتن متر بین ثانیه ۳ و ۴ سمت چپ خودرو بر روی یک سطح لغزش با ضریب اصطکاک $\mu = 0.2$ قرار می گیرد، سپس در هنگام ترمزگیری با همین گشتاور بین ثانیه‌های ۹ و ۱۰ سمت چپ خودرو بر روی همین سطح لغزش قرار می گیرد.



شکل ۱۵: تصاویر مربوط به کم فرمانی (بالا) و بیش فرمانی (پایین)

هر دو شرایط بالا نامطلوب هستند و به دلیل از دست رفتن کنترل راننده بر روی خودرو احتمال بروز حادثه را افزایش می‌دهند. حال برای غلبه بر این شرایط بایستی گشتاور yaw در خلاف جهت گشتاور وارد شده برخودرو تولید گردد. یکی از روش‌های ایجاد گشتاور yaw در خودرو اعمال گشتاور رانش یا ترمز گیری بر روی یک چرخ خاص می‌باشد. برای بررسی پایداری خودرو از دو متغیر میزان تغییرات حرکت yaw (φ^0) و زاویه لغزش کناری خودرو B که تاثیر زیادی در پایدار ماندن خودرو دارند استفاده شده است. بنابراین از خطای بین آن‌ها و مقادیر مطلوبشان به عنوان ورودی کنترل کننده فازی استفاده کردیم. ساختار کلی کنترل کننده ESC در شکل (۱۶) نشان داده شده است که دارای ۳ لایه کنترلی است. لایه اول شامل یک کنترل کننده فازی برای محاسبه گشتاور اصلاحی yaw. لایه دوم شامل یک توزیع کننده گشتاور به منظور اختصاص گشتاور تولیدی لایه اول به چرخ‌های مناسب و لایه سوم شامل یک کنترل کننده لغزش می‌باشد.



شکل ۱۴: گشتاور ورودی راننده و گشتاور نهایی موتورهای الکتریکی نصب شده در چرخ‌ها با وجود کنترل لغزش

نتایج آزمایش دوم نشان می‌دهد که چون سمت چپ خودرو بر روی سطح لغزنده قرار می‌گیرد، لغزش چرخ‌های سمت چپ خودرو از حد مجاز فراتر می‌رود و کنترلر لغزش با کاهش گشتاورهای رانش و ترمز گیری ورودی توسط راننده، در سمت چپ خودرو مانع از لغزش بیش از حد چرخ‌های سمت چپ خودرو می‌گردد. چرخ‌های سمت راست خودرو نیز چون لغزش آن‌ها از حد مجاز فراتر نمی‌رود کنترلر لغزش هیچ مداخله‌ای نمی‌کند.

۴- طراحی سیستم کنترل

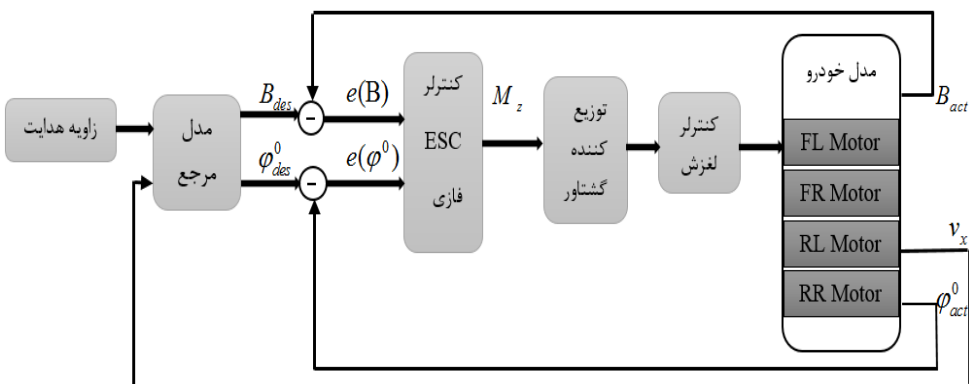
سیستم کنترل پایداری الکترونیکی خودرو ESC یک سیستم کنترل فعال اینمی خودرو است که پایداری عرضی خودرو را هنگام مواجه شدن با شرایط اضطراری بهبود می‌بخشد. دو نمونه از ناپایداری که برای یک خودرو ممکن است اتفاق بیافتد عبارتند از:

(۱) کم فرمانی^۱: زمانی اتفاق می‌افتد که در هنگام پیچیدن به دلیل سرخوردن قسمت جلوی خودرو از مسیر اصلی خود خارج شود که این حالت توسط زاویه لغزش کناری کوچکتر و میزان حرکت yaw کمتر نسبت به ورودی هدایت راننده مشخص می‌شود.

(۲) بیش فرمانی^۲: هنگامی اتفاق می‌افتد که یک خودرو در هنگام پیچیدن به دلیل سرخوردگی در قسمت عقب آن به طرف مرکز انحنای پیچ چرخش می‌کند و خودرو از مسیر مطلوب راننده منحرف شود و این حالت توسط زاویه لغزش کناری بزرگتر و میزان حرکت عرضی بیشتر مشخص می‌شود.

¹ Under steer

² Over steer



شکل ۱۶: ساختار کلی سیستم کنترل

$$\begin{cases} \alpha_f = \delta - \frac{v_y + L_f \cdot \varphi^0}{V} \\ \alpha_r = \frac{v_y - L_r \cdot \varphi^0}{V} \end{cases} \quad (13)$$

حال میزان ایده‌آل حرکت زاویه انحراف yaw در مدل با دو درجه آزادی که به عنوان مدل مرجع استفاده شده است بصورت زیر بدست می‌آید:

$$\begin{aligned} \varphi_{des}^0 &= \frac{V \cdot \tan \delta}{L \cdot \left(1 + \left(\frac{V}{V_{ch}}\right)^2\right)} \\ , V_{ch}^2 &= \frac{C_{af} C_{ar} L^2}{m(C_{ar} L_r - C_{af} L_f)} \end{aligned} \quad (14)$$

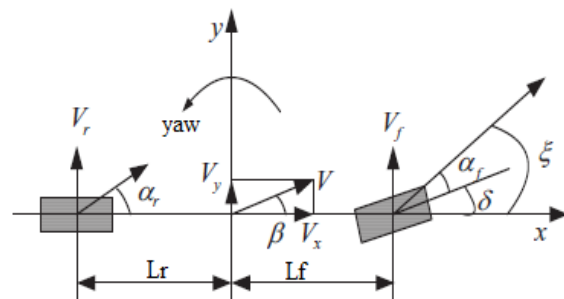
بیشترین مقدار yaw توسط ضریب اصطکاک سطح محدود می‌شود. زیرا حداکثر شتاب عرضی ایجاد شده توسط خودرو نمی‌تواند از ضریب اصطکاک سطح بیشتر شود و رابطه $|a_y| \leq \mu g$ برقرار است. بنابراین بیشترین میزان تغییر حرکت yaw توسط شرط $\varphi_{lim}^0 \leq \mp \mu g v_x^{-1}$ محدود می‌شود. مقادیر زاویه لغزش کناری خودرو نیز عدد کوچکی است که برای سادگی مقدار مطلوب زاویه لغزش کناری خودرو را صفر در نظر می‌گیریم، یعنی $B_{des} = 0$.

۲-۴ طراحی کنترل کننده Fuzzy

هدف اصلی سیستم ESC کم کردن خطای نرخ تغییر حرکت yaw و زاویه لغزش کناری می‌باشد تا پایداری مطلوب خودرو حفظ شود. بنابراین هدف از طراحی لایه اول از کنترل کننده، محاسبه گشتاور اصلاحی yaw برای حفظ پایداری عرضی خودرو می‌باشد. کنترل کننده yaw فازی دارای دو ورودی خطای نرخ حرکت yaw $\{e(\varphi^0) = \varphi_{des}^0 - \varphi_{act}^0\}$ و خطای زاویه لغزش کناری $\{e(B) = B_{des} - B_{act}\}$ و خروجی آن نیز یک گشتاور اصلاحی yaw به نام M_z می‌باشد. ورودی‌های کنترل کننده فازی $e(B)$ و

۱-۴ مدل مرجع

برای محاسبه مقادیر مطلوب φ_{des}^0 و B_{des} و مقایسه آن با مقادیر واقعی خودرو، از یک مدل مرجع دوچرخه [۳] با درجه آزادی استفاده شده که تابعی از پارامترهای خودرو، سرعت طولی خودرو و زاویه هدایت خودرو است. در این مدل چرخ‌های چپ و راست بر روی یک محور ادغام شده‌اند. در این مدل نیروهای طولی چرخ و تغییرات نیروهای عمودی چرخ‌ها در نظر گرفته نشده است. معادلات حالت مدل دوچرخه خطی شده‌اند بطوریکه فقط زوایای کوچک لغزش چرخ بررسی می‌شوند. داریم $\sin(\alpha) \approx \alpha$ و $\cos(\alpha) \approx 1$ و فرض شده است که این مدل در یک سرعت ثابت در داخل یک دایره با شعاع R برای بررسی نیروهای عرضی وارد شونده بر خودرو در حال حرکت است. شکل ۱۷ این حالت را نشان می‌دهد.



شکل ۱۷: مدل دوچرخه [۶]

$$\begin{cases} ma_y = F_{yf} + F_{yr} \\ I_z \dot{\varphi}^{00} = L_f F_{yf} - L_r F_{yr} \end{cases} \quad (11)$$

رفتار چرخ خطی در نظر گرفته می‌شود و خواهیم داشت:

$$\begin{cases} F_{yf} = C_{af} \cdot \alpha_f \\ F_{yr} = C_{ar} \cdot \alpha_r \end{cases} \quad (12)$$

C_{ar} و C_{af} زاویه لغزش چرخ جلو و عقب هستند و سختی چرخ هنگام دور زدن برای چرخ‌های جلو و عقب است که آن را در اینجا مساوی فرض کرده‌ایم:

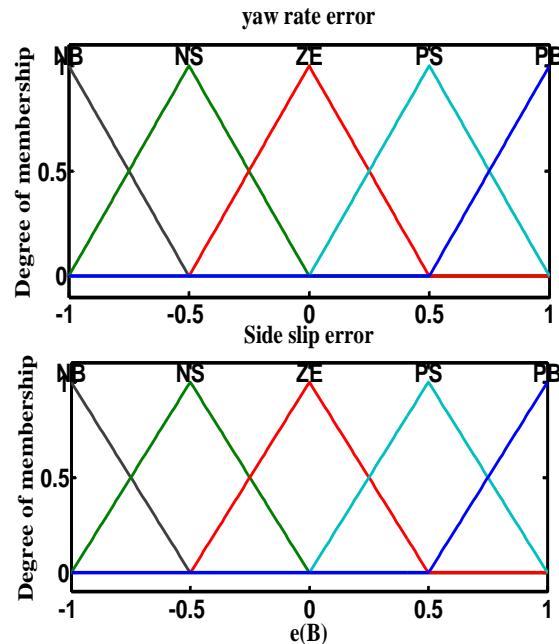
جدول ۳: قوانین فازی سیستم ESC

پایگاه قوانین		e (B)				
		NB	NS	ZE	PS	PB
$e(\phi^0)$	NB	ZE	PS	PM	PB	PB
	NS	ZE	ZE	PS	PM	PB
	ZE	NM	NS	ZE	PS	PM
	PS	NB	NM	NS	ZE	ZE
	PB	NB	NB	NM	NS	ZE

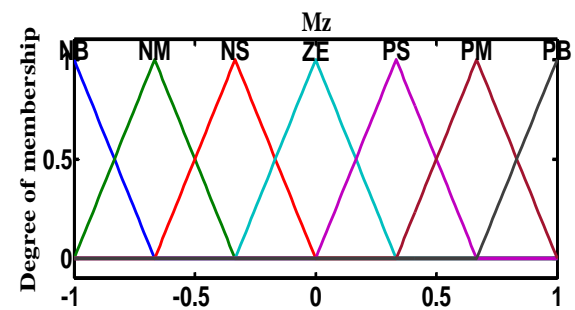
برای کنترل کننده فازی از سیستم استنتاج فازی ممدادی استفاده شده است که به وسیله طرح قانون فازی زیر مشخص می‌شود: اگر $e(\phi^0)$ برابر A,B,C است و $e(B)$ برابر B است آنگاه M_z برابر C است. که مجموعه‌های فازی تعریف شده بر روی محدوده ورودی و خروجی است. روش دی‌فازی‌ساز استفاده شده مرکزتقل است. توابع عضویت ورودی و خروجی بین [-1,1] نرمالیزه شده‌اند و خروجی کنترل کننده نیز توسط یک ضریب که به آزمون و خطاب بدست آمده است غیر نرمالیزه می‌شود.

بعد از محاسبه گشتاور اصلاحی yaw توسط کنترل کننده فازی، نوبت توزیع مناسب گشتاور در چرخ‌های خودرو توسط موتورهای نصب شده در هر چرخ می‌باشد که این امر در لایه دوم کنترل کننده ESC یعنی توزیع کننده گشتاور انجام می‌شود. در این لایه با شناسایی شرایطی که خودرو در آن قرار گرفته مثل بیش فرمانی یا کم فرمانی و همچنین زاویه هدایت راننده و علامت $(e(\phi^0) \text{ و } M_z e)$ ، گشتاور مناسب را برای پایدار کردن خودرو به هر چرخ توزیع می‌کند. در این توزیع گشتاور به منظور استفاده از حداکثر گشتاور yaw که توسط خودرو تولید می‌شود، از ترمزگیری در یک چرخ در یک سمت خودرو و شتابگیری در سمت دیگر آن استفاده شده است. همچنین در شرایط کم فرمانی که به دلیل سرخوردن محور جلو اتفاق می‌افتد این گشتاورها را فقط به محور عقب خودرو وارد می‌کند و در شرایط بیش فرمانی که به دلیل سرخوردن محور عقب رخ می‌دهد گشتاور را فقط به محور جلو وارد می‌کند تا تاثیر اعمال گشتاور بیشتر گردد. در جدول زیر نحوه تخصیص گشتاور به چرخ‌ها بر اساس موقعیتی که خودرو در آن قرار گرفته نشان داده شده است.

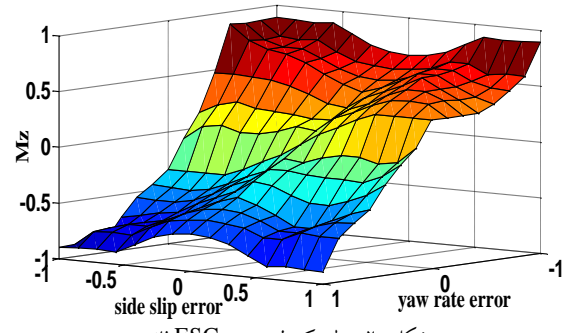
$e(\phi^0)$ دارای ۵ متغیر زبانی {NB, NS, ZE, PS, PB} و خروجی آن دارای ۷ متغیر زبانی {NB, NM, NS, ZE, PS, PM, PB} می‌باشد. نمادهای اشاره شده بیانگر NB منفی بزرگ، NM منفی متوسط، NS منفی کوچک، ZE صفر، PS مثبت کوچک، PM مثبت متوسط، PB مثبت بزرگ می‌باشد.



شکل ۱۸: توابع عضویت متغیرهای ورودی



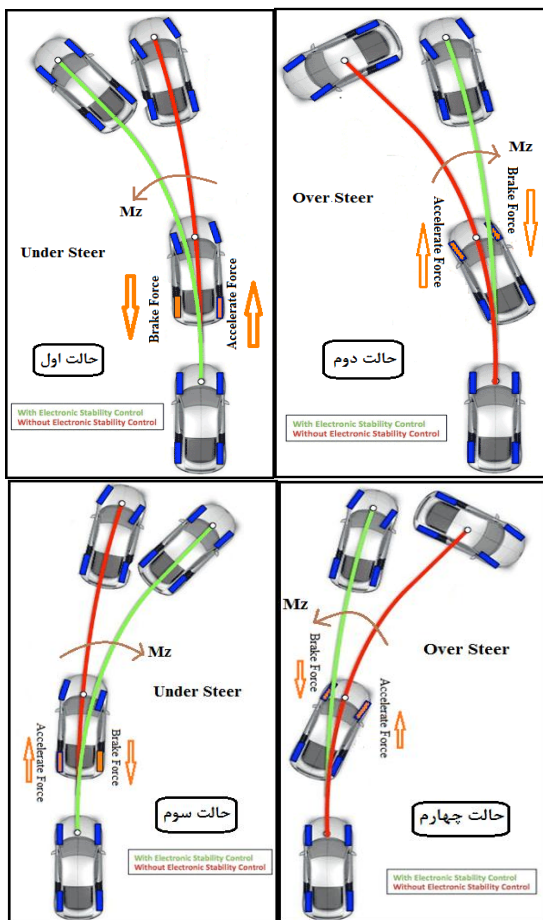
شکل ۱۹: توابع عضویت متغیر خروجی



شکل ۲۰: سطح کنترل سیستم ESC فازی

جدول ۴: نحوه تخصیص گشتاور به چرخ ها

	$e(B) < 0$	$e(\varphi^0) > 0$	$\delta > 0$	$M_z < 0$	وضعیت کم فرمانی	RL ترمزگیری	RR شتابگیری
	$e(B) > 0$	$e(\varphi^0) < 0$	$\delta > 0$	$M_z > 0$	وضعیت بیش فرمانی	FR ترمزگیری	FL شتابگیری
	$e(B) > 0$	$e(\varphi^0) < 0$	$\delta < 0$	$M_z > 0$	وضعیت کم فرمانی	RR ترمزگیری	RL شتابگیری
	$e(B) < 0$	$e(\varphi^0) > 0$	$\delta < 0$	$M_z < 0$	وضعیت بیش فرمانی	FL ترمزگیری	FR شتابگیری



شکل ۲۱: نحوه عملکرد کنترلگر ESC

۴-۳-۴ ارزیابی عملکرد سیستم کنترل ESC

عملکرد سیستم کنترل ESC را با استفاده از یک مانور تغییر لاین تست می کیم در این آزمایش خودرو با سرعت ثابت ۹۰ کیلومتر بر ساعت بر روی جاده‌ای با ضریب اصطکاک ۰.۸۵ تغییر لاین انجام مدهد و دوباره به همان لاین بر می گردد. و برای بررسی روش پیشنهاد شده، نتایج با یک کنترلگر مدل لغزشی مقایسه می گردد.^[۱۲]

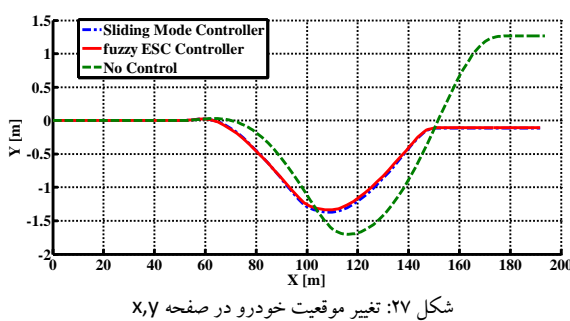
نحوه تشکیل قوانین کنترلگر فازی ESC و نیز لایه توزیع کننده گشتاور به صورت زیر می باشد:

حالت اول: ایجاد حالت کم فرمانی هنگام پیچیدن خودرو به سمت چپ. این حالت با $e(\varphi^0) > 0$ و $e(B) < 0$ مشخص می شود که برای کنترل آن می بایست خروجی کنترلگر گشتاور منفی yaw خلاف جهت عقربه های ساعت ایجاد نماید. این گشتاور در لایه توزیع کننده گشتاور به صورت چرخ عقب-راست شتابگیری و عقب-چپ ترمزگیری توزیع می شود.

حال دوم: ایجاد حالت بیش فرمانی هنگام پیچیدن خودرو به سمت چپ. این حالت با $e(\varphi^0) < 0$ و $e(B) > 0$ مشخص می شود که برای کنترل آن می بایست خروجی کنترلگر گشتاور مثبت yaw در جهت عقربه های ساعت ایجاد نماید. این گشتاور در لایه توزیع کننده گشتاور به صورت چرخ جلو-راست ترمزگیری و جلو-چپ شتابگیری توزیع می شود.

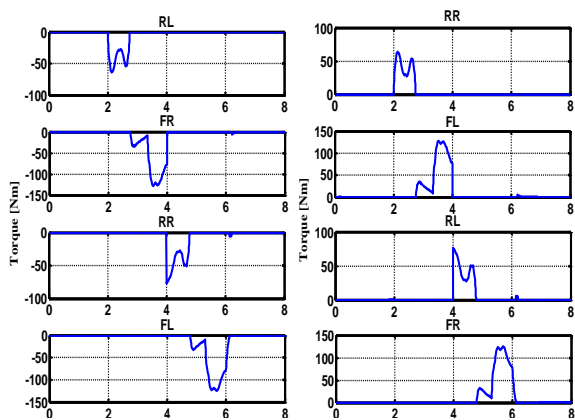
حالات سوم و چهارم: ایجاد حالت کم فرمانی هنگام پیچیدن خودرو به سمت راست. این حالت با $e(\varphi^0) < 0$ و $e(B) > 0$ مشخص می شود که برای کنترل آن می بایست خروجی کنترلگر گشتاور مثبت yaw در جهت عقربه های ساعت ایجاد نماید. این گشتاور در لایه توزیع کننده گشتاور به صورت چرخ عقب-راست ترمزگیری و عقب-چپ شتابگیری توزیع می شود.

حالات پنجم و ششم: ایجاد حالت بیش فرمانی هنگام پیچیدن خودرو به سمت راست. این حالت با $e(\varphi^0) > 0$ و $e(B) < 0$ مشخص می شود که برای کنترل آن می بایست خروجی کنترلگر گشتاور منفی yaw خلاف جهت عقربه های ساعت ایجاد نماید. این گشتاور در لایه توزیع کننده گشتاور به صورت چرخ جلو-راست شتابگیری و جلو-چپ ترمزگیری توزیع می شود.



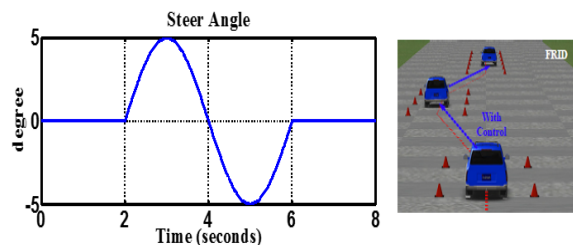
شکل ۲۷: تغییر موقعیت خودرو در صفحه X,Y

تمام گشتاورهای ترمزگیری یا شتاب گیری توزیع شده در چرخ‌ها وارد کنترل کننده لغزش فازی در لایه سوم می‌شوند تا مانع از سرخوردگی یا قفل کردن چرخ خودرو در هنگام بکارگیری گشتاور اصلاحی سیستم ESC برای پایدار کردن خودرو شوند، زیرا سرخوردگی و یا قفل چرخ، سبب ناپایداری خودرو می‌شود. در ضمن کنترل کننده لغزش با جلوگیری از سرخوردگی چرخ‌ها موجب افزایش تاثیرگذاری گشتاور اصلاحی کنترلر ESC می‌شود.

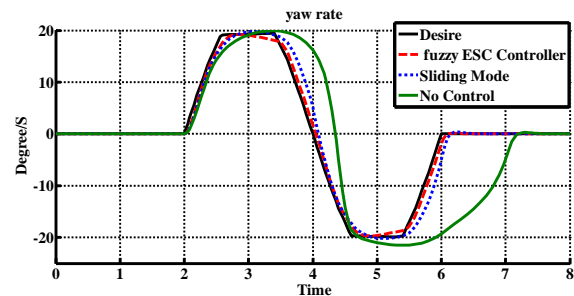


شکل ۲۸: نحوه توزیع گشتاور خروجی کنترل ESC فازی نوع ۲ به موتورهای واقع شده در چرخ‌ها که تصاویر سمت راست مربوط به گشتاور شتاب گیری وارد بر چرخ‌ها و تصاویر سمت چپ مربوط به گشتاور ترمزگیری وارد بر چرخ‌ها می‌باشد.

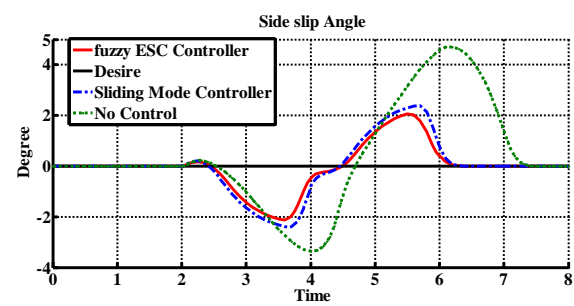
همانطور که از تصاویر بالا مشخص است ابتدا کنترل کننده فازی با توجه به انحراف خودرو از نرخ yaw و زاویه لغزش کناری مطلوب خودرو در مدل مرجع بالا، برای پایدار نگهداشتن خودرو، یک گشتاور اصلاحی yaw تولید می‌کند. سپس در بخش توزیع گشتاور بر اساس زاویه هدایت و رویدی راننده و علامت M_z و (φ^0, e) ، گشتاور اصلاحی خروجی سیستم فازی را به موتورهای واقع در چرخ‌ها توزیع می‌کند. به منظور استفاده از حداکثر گشتاور yaw قابل تولید توسط خودرو از ترمزگیری در یک سمت و شتاب گیری در چرخ نظیر سمت دیگر خودرو استفاده شده است به اینصورت که بعد از اختصاص دادن گشتاور اصلاحی تولیدی در کنترل کننده فازی به یک چرخ برای ترمزگیری یا شتاب گیری عکس آن گشتاور را نیز به چرخ نظیر سمت دیگر خودرو وارد می‌کنیم که این امر علاوه بر استفاده از حداکثر گشتاور اصلاحی



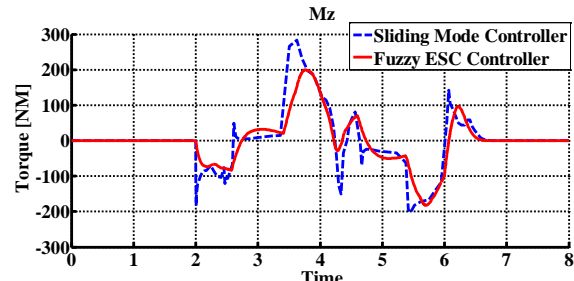
شکل ۲۲: زاویه هدایت خودرو



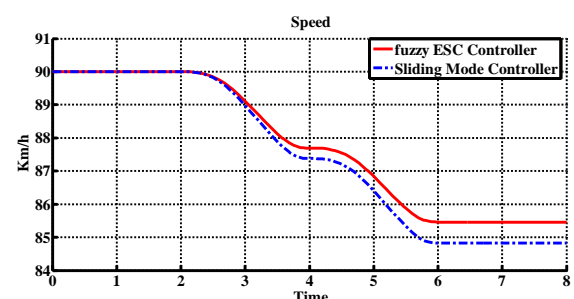
شکل ۲۳: میزان تغییر حرکت yaw خودرو



شکل ۲۴: زاویه لغزش کناری خودرو



شکل ۲۵: گشتاور اصلاحی خروجی کنترلرها



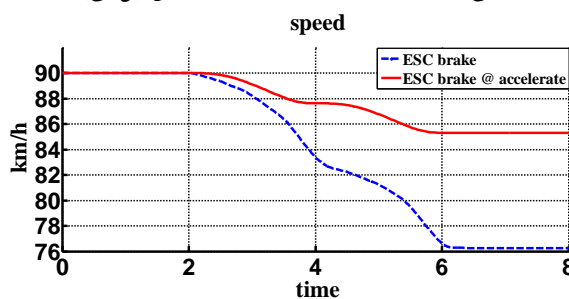
شکل ۲۶: تغییرات سرعت خودرو

استفاده از مداخله ترمزگیری و هم شتاب گیری در توزیع گشتاور موجب کاهش کمتر سرعت خودرو نسبت به سیستم‌های کنترل ESC که فقط از مداخله ترمزگیری استفاده می‌کنند شد. این امر از نقطه نظر راننده امر مهمی است. در نتیجه این سیستم می‌تواند هم امنیت خودرو و هم راحتی سرنشیس را در هنگام رانندگی تضمین کند. همچنین تمام مطالعات انجام شده بیانگر مزایای خودروهای الکتریکی با نیرو محركه مجزا در هر چرخ است. این نوع کنترل مجزا، هم موجب آسان و بهتر شدن فرآیند کنترل پایداری و هم موجب کاهش هزینه‌ها نسبت به خودروهای معمولی می‌شود.

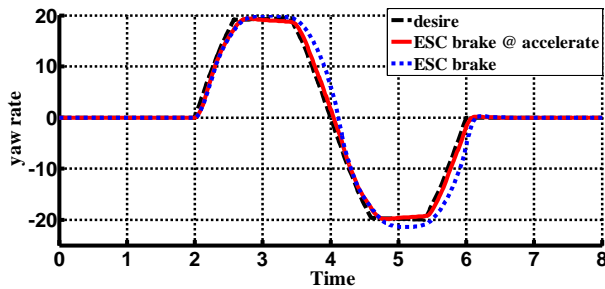
مراجع

- [1] Rengaraj, Chandrasekaran "Integration of Active Chassis Control System for Improved Vehicle Handling Performance". Doctoral thesis, University of sunderland 2012.
- [2] K. Jalili, "Stability Control of Electric Vehicles With In-Wheel Motors" PhD Thesis ,University of Waterloo,Ontario,Canada 2010.
- [3] J. L. giang, "control Algorithm of Combination with Logic gate and PID Control for Vehicle Electronic Stability Control" Jilin university chanchon, China IEEE 2010.
- [4] Esmailzadeh,Goodarzi, "Directional Stability and Control of Four Wheel Independent drive electric Vehicles" Department of Mechanical Engineering, Sharif University of Technology, Tehran, Iran 2002.
- [5] Y. Hou, J. Zhang, "Integrated Chassis Control Using ANFIS" International Conference on Automation and Logistics Qingdao,China 2008.
- [6] L. Chu, X. Gao, "Coordinated of Electronic Stability Program and Active Front Steering" International Conference on Environmental Science and Engineering 2011.
- [7] D.Yin and J-S.HU, "Active approach to electronic stability control for Front-wheel drive in-wheel motor electric vehicles" International Journal of Automotive Technology, Vol. 15, No. 6, pp.979-987 2014.
- [8] L. Chu, M. faXu, Y. Zhang, " Vehicle Dynamics Control Based on Optimal Sliding Mode Control Theory" International Conference on Computer, Mechatronics, Control and Electronic Engineering.doi: 978-1-4244-7956-611 IEEE 2010.
- [9] Dugoff, H., Fancher, P.S. and Segal, L., "Tire performance characteristics affecting vehicle response to steering and braking control inputs," Final Report, Contract CST-460, Office of Vehicle Systems Research, US National Bureau of Standards, 1969.
- [10] H. Hongwen, J. Peng, R. Xiong and Hao Fan, " An Acceleration Slip Regulation Strategy for

قابل تولید توسط خودرو موجب می‌شود که سرعت خودرو کاهش کمتری یابد. در حالی که در سیستم‌های ESC سنتی که فقط از ترمزگیری برای ایجاد گشتاور yaw استفاده می‌کنند، در شرایط غیراضطراری به دلیل مداخله ترمزگیری در کار راننده، موجب کاهش بیشتر سرعت خودرو و ایجاد حس ناخوشایند در راننده می‌شود. ولی در سیستم ESC طراحی شده در این مقاله بدليل استفاده توان از گشتاور ترمزگیری و شتاب گیری، موجب کاهش سرعت کمتری در خودرو می‌گردد، ضمن اینکه در موقع اضطراری، به خوبی پایداری خودرو را حفظ می‌کند. در تصاویر زیر مقایسه سرعت و نرخ تغییر حرکت yaw خودرو را بین سیستم ESC طراحی شده در این مقاله که از گشتاور شتاب گیری و هم ترمزگیری استفاده کرده است را با سیستم کنترل-کننده فازی سیستم قبل ولی با سیستم توزیع گشتاوری تنها با ترمزگیری را مشاهده می‌کنید. زاویه هدایت و روودی مانند آزمایش قبل می‌باشد.



شکل ۲۹: تغییرات سرعت خودرو



شکل ۳۰: میزان تغییر حرکت yaw خودرو

۵- نتیجه گیری

در این مقاله یک استراتژی کنترل پایداری جدید برای خودروی الکتریکی با گشتاورهای مستقل در هر چرخ ارائه شد. این سیستم با بکارگیری کنترل کننده فازی برای محاسبه گشتاور اصلاحی زاویه انحراف yaw و استفاده از یک توزیع کننده گشتاور اصلاحی جدید برای اختصاص گشتاور اصلاحی به موتورهای واقع در چرخ، و در نهایت ترکیب آنها با کنترل کننده لغزش فازی طراحی شده برای بهبود عملکرد سیستم ESC، به خوبی توانست پایداری خودرو را در مانورهای اضطراری که آزمایش شد حفظ کند و خودرو را به مسیر مطلوب بازگرداند. همچنین کنترلگر ESC فازی در مقایسه با کنترلگر مدل لغزشی که از همان سیستم توزیع گشتاور استفاده می‌کرد عملکرد بهتری نشان داد. همچنین کنترلگر لغزش طراحی شده لغزش ناشی از ترمزگیری و هم شتاب گیری را در حد مطلوب تعیین شده حفظ کرد. در نهایت نیز با

Four-Wheel Drive Electric Vehicles Based on Sliding Mode Control" Energies, 7, 3748-3763; doi:10.3390/en7063748.2014.

- [11] W. Lingfei, J. Gou, L. Wang and Junzhi Zhang." Acceleration Slip Regulation Strategy for Distributed Drive Electric Vehicles with Independent Front Axle Drive Motors" Energies, 8, 4043-4072; doi:10.3390/en8054043.2015.
- [12] A. Hasan, M. Ektesabi, and Ajay Kapoor." A Suitable Electronic Stability Control System Using Sliding Mode Controller for an In-wheel Electric Vehicle" Proceedings of the International MultiConference of Engineers and Computer Scientists Vol I.2013.